
Farbige Abbildungen zu den Beiträgen

Sabine Hornung

Das spätrepublikanische Militärlager bei Hermeskeil (Lkr Trier Saarburg)

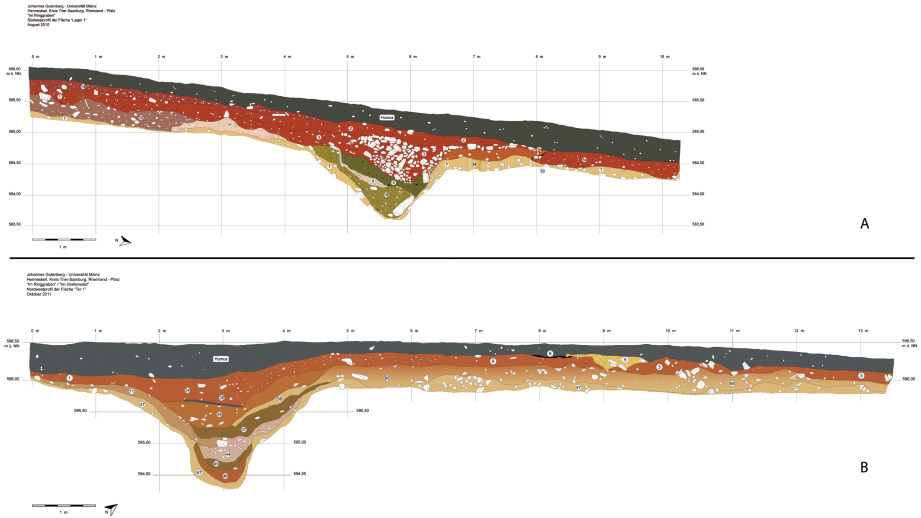


Abb. 3: A: Profil des nordwestlichen Umfassungsgrabens (Grabung 2010, Grafik: A. Braun); B: Profil durch den Graben westlich (links) des Tores (Grabung 2011, Grafik A. Braun).

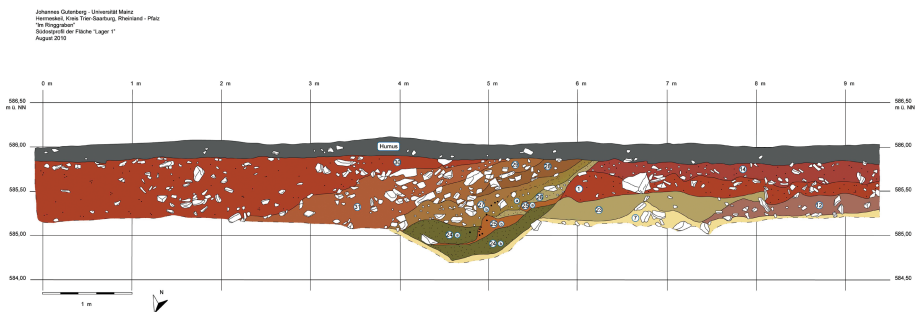


Abb. 5: Profil des Sohlgrabens der inneren Lageruntergliederung, Grabung 2010 (Grafik A. Braun).

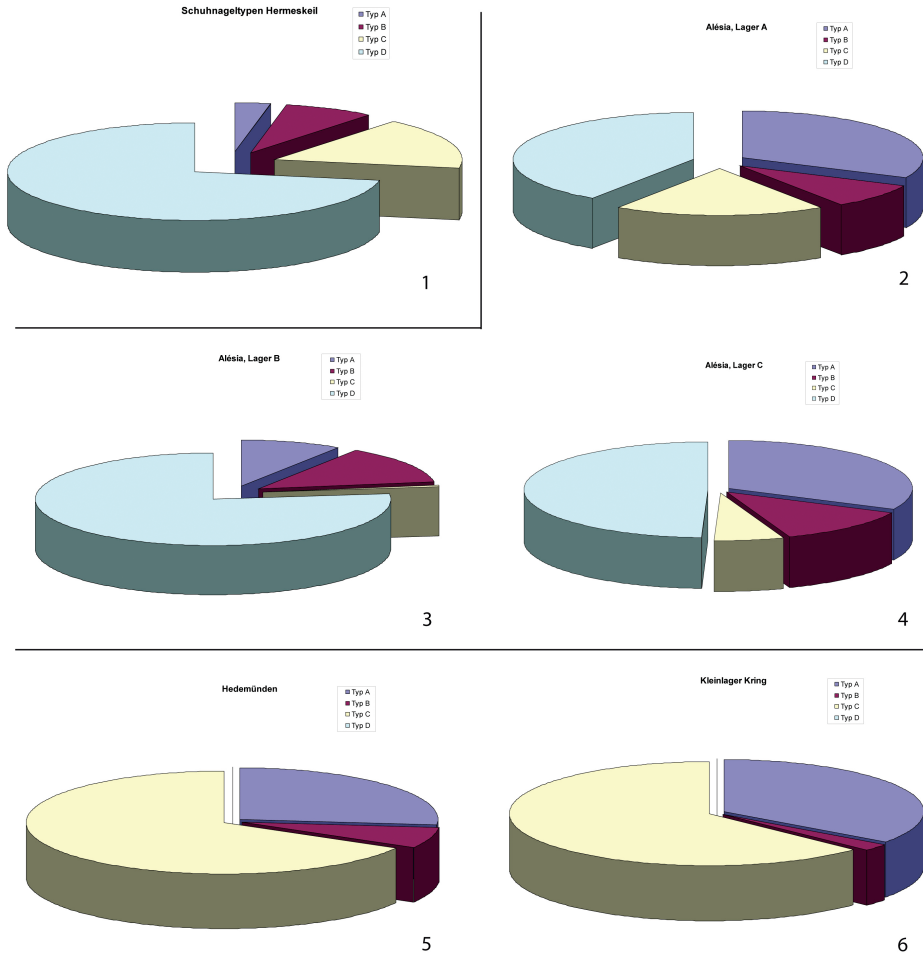


Abb. 8: Prozentuale Verteilung der verschiedenen Schuhnageltypen an Referenzkomplexen: blau = Typ A; rot = Typ B; gelb = Typ C; grün = Typ D. – 1 Hermeskeil; 2-4 Alesia Lager A, B, C (nach Brouquier-Reddé / Deyber, Fourniment); 5 Hedemünden (nach Grote, Hedemünden); 6 Kleinlager Kring (nach Grote, Hedemünden) (Grafik S. Hornung).

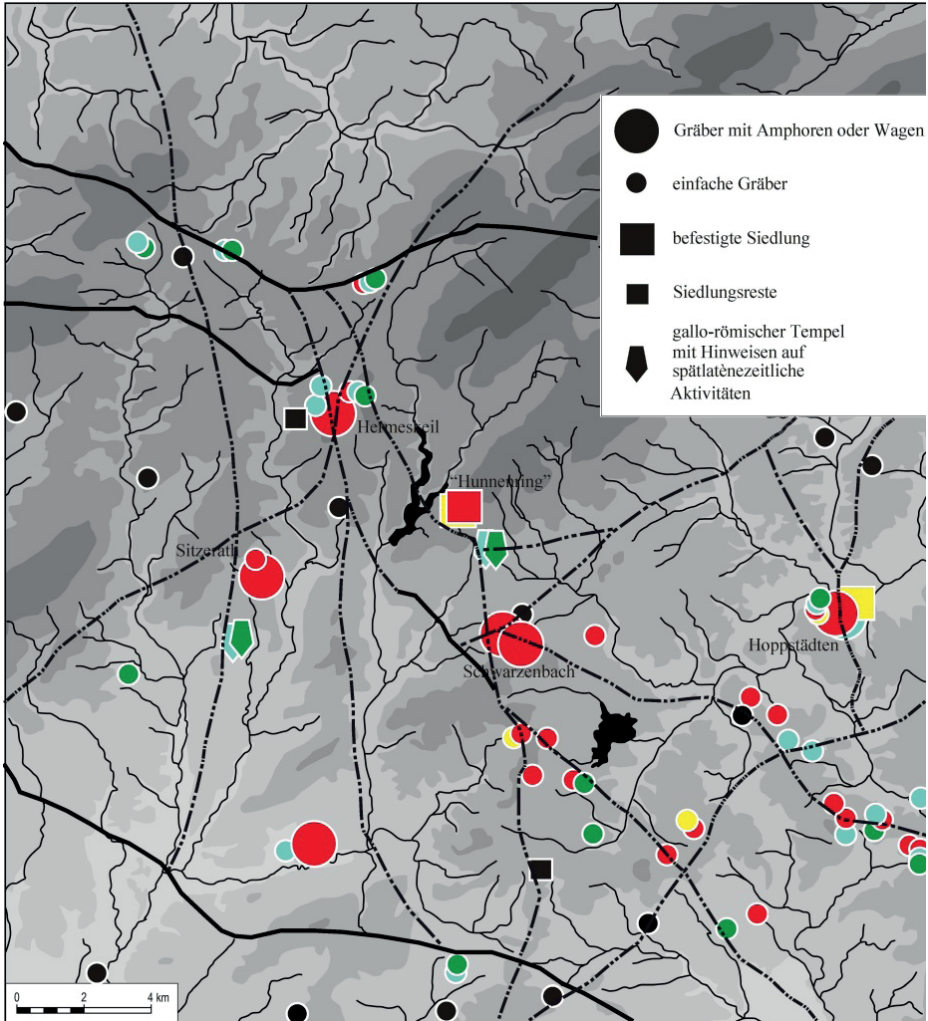
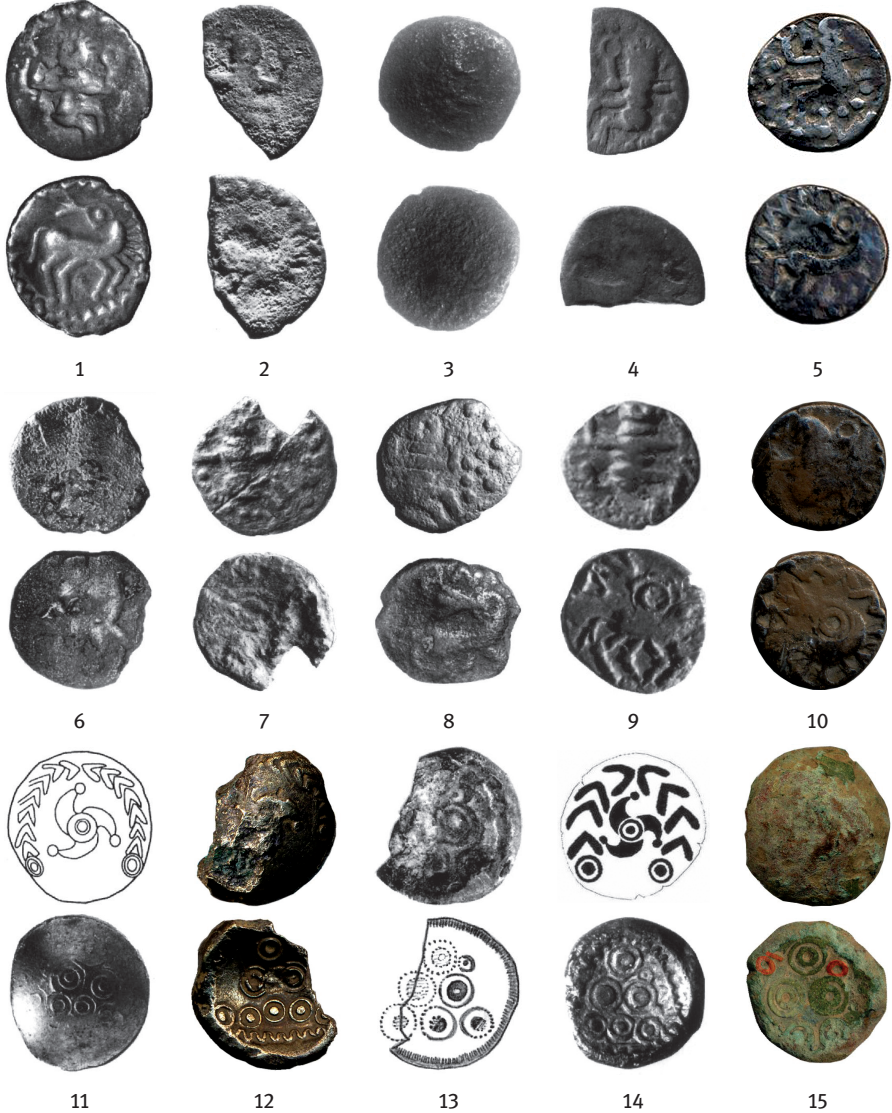


Abb. 13: Verbreitung spätlatènezeitlicher bzw. frühromischer Fundstellen im Umfeld des „Hunnerrings“ und rekonstruiertes Wegenetz. – Gelb: LT C2/D1a; rot: LT D1b/D2a; blau: LT D2b; grün: frühromisch (Grafik: S. Hornung).

Johannes Heinrichs

Wanderungen versus Genozid

Tafel 1: Düren-Mariaweiler: Quinare (Scheers 57 II, Nr. 1–10) und Regenbogenschüsselchen der der Nordgruppe (Kellner IX B, Nr. 11 und IX C, Nr. 12–20): unmaßstäbl. vergrößerte Beispiele



(Elektron, Av. völlig plan)

(silberplattiert, Av. völlig korrodiert)

(goldplattiert, Av. abgeplatzt; Umzeichnung: U. Klöppel, Aarbergen)

(unten: graphisch rekonstruierte Beiz.)



Nr. 15 mit bisher unbekannter Markierung, kombiniert aus zwei Beizeichen, jeweils im Feld unterhalb der obersten Kugel: re. ein Kringel, li. ein (noch S-förmiges) Gebilde, dessen li. Teil korrosionsbedingt zerstört ist. Gemäß der allgemeinen Semantik der Beizeichen dürfte es sich am ehesten um einen Kringel handeln, darüber eine schräge Haste (Vorschlag und graphische Rekonstruktion durch U. Klöppel). Kringel-Beizeichen, zumal in Kombination, weisen typologisch auf die Lith-Gruppe. Sie überwiegen in Düren-Mariaweiler.

Frank Berger

Charakteristische Münztypen der Drusus-Ära



Abb. 1: Denar des Augustus, Lyon, 15-13 v. Chr., RIC 167 (leicht vergrößert)



Abb. 2: As des L. TITURI L.F. SABINUS, Rom 89 v. Chr., Cra 344.



Abb. 3: Divos Iulius-Kupfermünze, Italien, ca. 38 v. Chr., RPC 620.



Abb. 4: Vienna-Kupfermünze, ca. 36 v. Chr., RPC 517.



Abb. 5: Copia-Kupfermünze, ca. 36 v. Chr., RPC 515.



Abb. 6: Arausio-Kupfermünze, ca. 30/29 v. Chr., RPC 533



Abb. 7: Narbo-Kupfermünze, ca. 40 v. Chr., RPC 518.



Abb. 8: Nemausus-As, ca. 16/15-10 v. Chr., RPC 523.



Abb. 9: Münzmeister-As des Lucius Naevius Surdinus, 16/ 15 v. Chr., RIC 386.



Abb. 10: Caesar Augusta (Zaragoza), As, ca. 17/ 13 v. Chr., RPC 305.



Abb. 11: Bilbilis, As, ca. 17/ 13 v. Chr., RPC 391



Abb. 12: Celsa, As, ca. 17/ 13 v. Chr., RPC 273.

Heiko Steuer

Landschaftsorganisation, Siedlungsnetz und Dorfstruktur in der Germania in den Jahrzehnten um Chr. Geb.

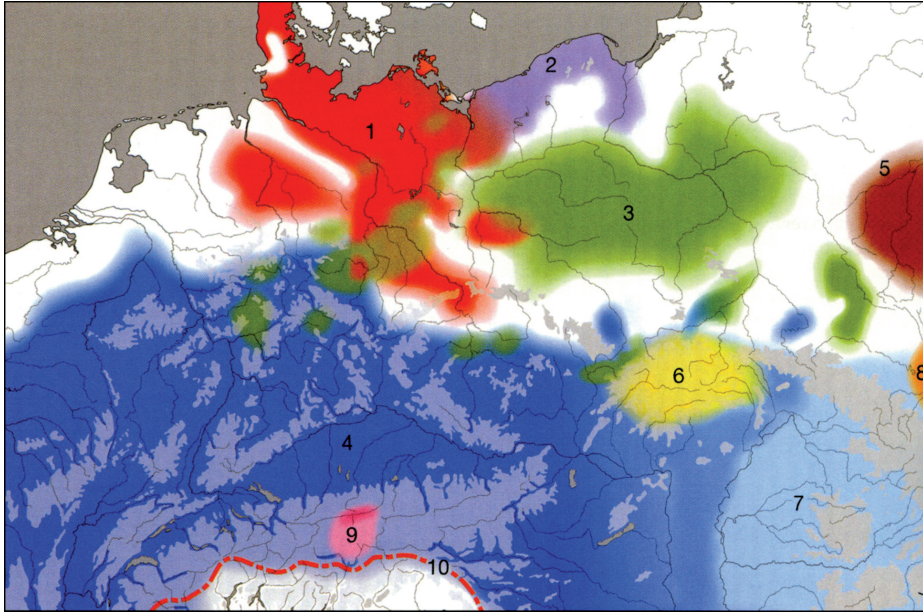


Abb. 4: Kulturen und Kulturgruppen im nördlichen Mittel- und Osteuropa während der jüngeren vorrömischen Eisenzeit, darunter: 1 Jastorf-Gruppen, 3 Przeworsk-Kultur, 4 Spät-Latène-Kultur (nach Müller 2007, S. 266 Abb. 1 – verändert).

Klaus Grote

Die römischen Militäranlagen der augusteischen Germanienfeldzüge und Hinweise auf spätere Vorstöße im Werra-Leine-Bergland rings um Hedemünden

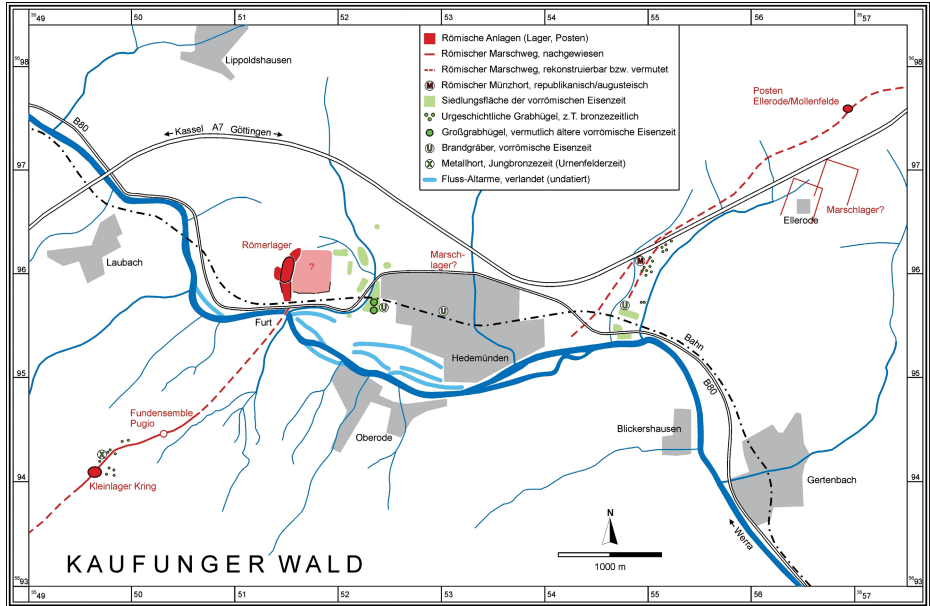


Abb. 2: Unteres Werratal bei Hedemünden. Plan der römischen Anlagen mit zeitgenössischem Umfeld.

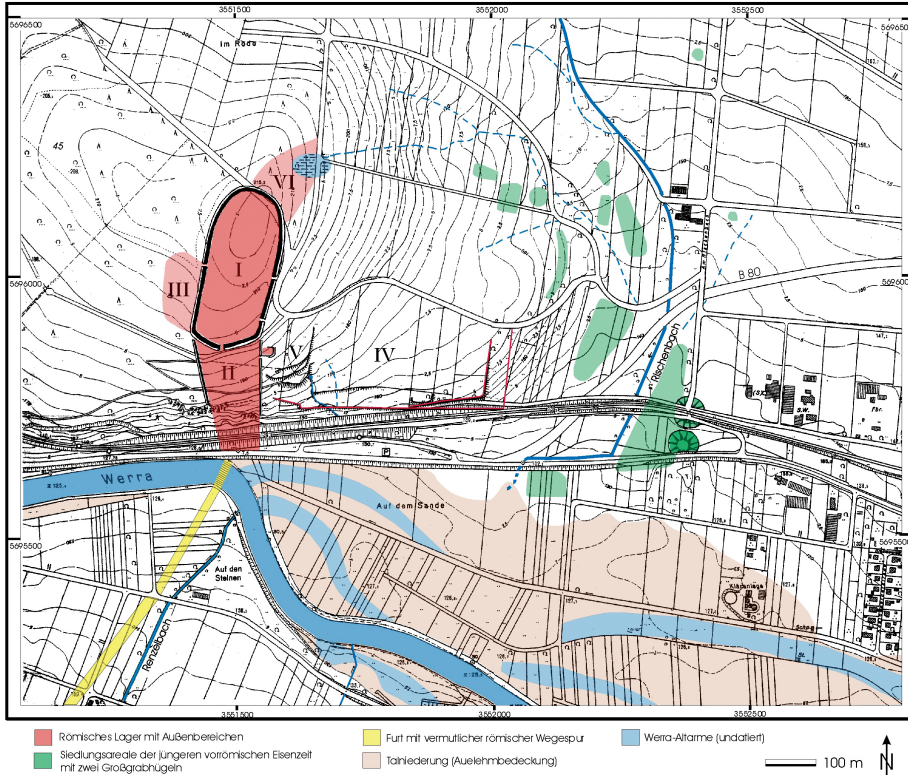


Abb. 3: Römerlager Hedemünden. Plan der Einzelbereiche auf dem Burgberg, mit Siedlungsflächen der jüngeren vorrömischen Eisenzeit.

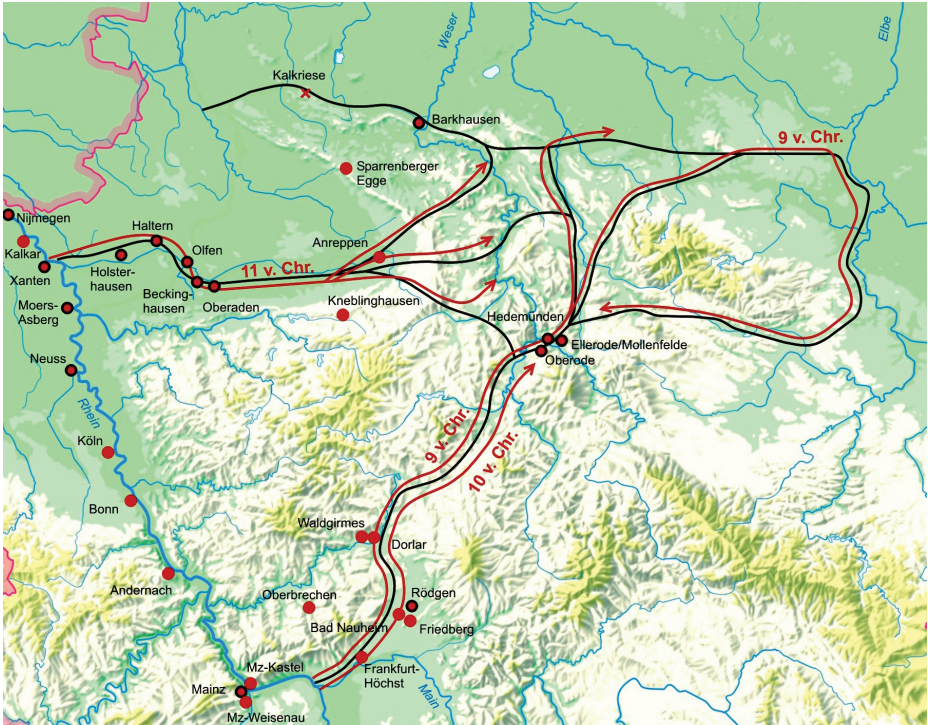


Abb. 4: Augusteische Militäranlagen in der Germania zwischen Rhein, Elbe, Main und Nordsee. Verlauf der Feldzüge unter Drusus und damit gleichzeitige Lager (schwarz umrandet). Kartengrundlage: Bundesamt für Kartographie und Geodäsie, Frankfurt a. Main.

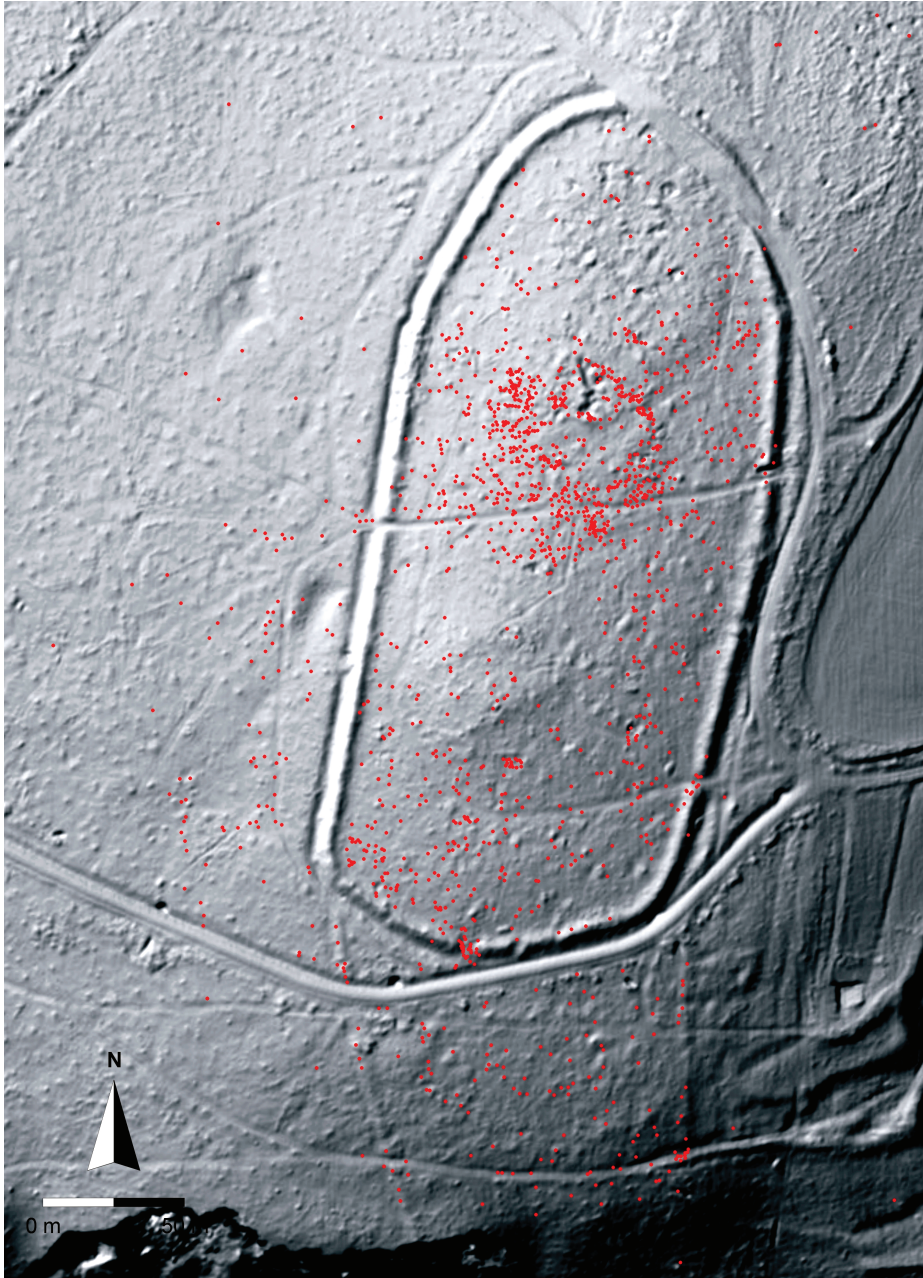


Abb. 6: Hedemünden, Hauptlager I mit Annexlager II (südlich) und Außenbereich III (westlich). Digitales Geländemodell nach LIDAR/Airborne Laserscan mit Kartierung der römischen Metallfunde aus der Detektorprospektion.

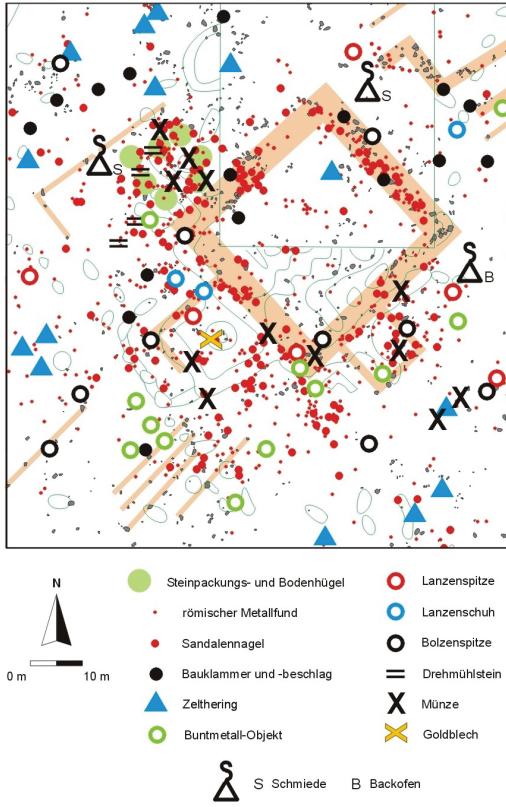


Abb. 10: Hedemünden, Hauptlager I. Kartierungsbild rings um den Zentralbau

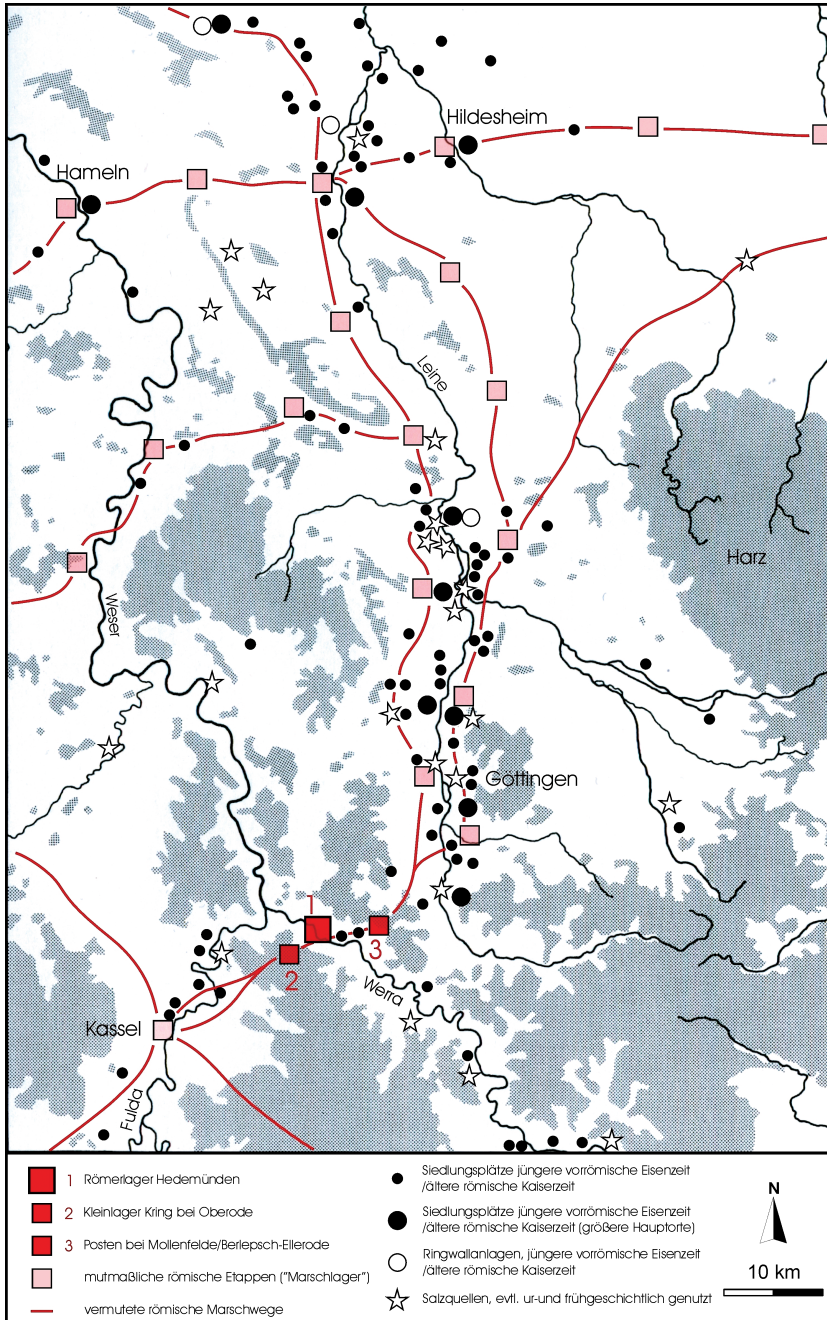


Abb. 11: Südniedersachsen und Nordhessen am Ende der vorrömischen Eisenzeit. Die Drusus-zeitlichen Militäranlagen bei Hedemünden und der mutmaßliche Verlauf der römischen Marschwege. Unterlegt die einheimische Siedlungslandschaft von SpLT bis ältere RKZ.

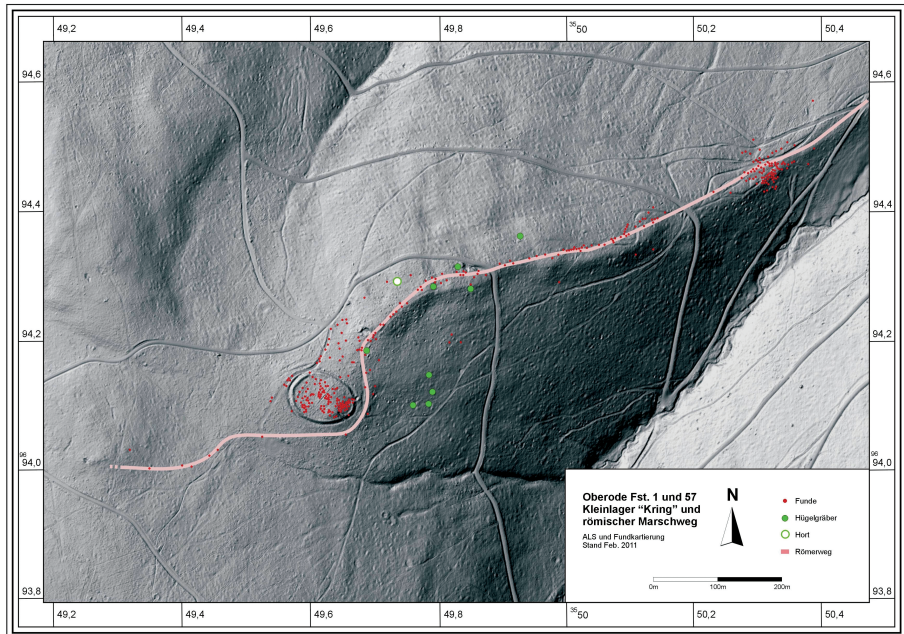


Abb. 13: Kleinlager „Kring“ und Verlauf des römischen Marschweges im Kaufunger Wald bei Oberode. Digitales Geländemodell (nach LIDAR/Airborne Laserscan).

Fundpunkte der Karte Nr. 23

- 1: Hitzerode, Werra-Meißner-Kreis, Weidscher Kopf (*Römerschanze*),
- 2: Hedemünden, Ldkr. Göttingen, Roter Berg,
- 3: Hedemünden, Lohkopf,
- 4: Mollenfelde, Ldkr. Göttingen/Berlepsch-Ellerode, Werra-Meißner-Kreis, Kreideberg,
- 5: Dahlenrode Ost, Ldkr. Göttingen, Grabhügel FSt. 3,
- 6: Jühnde, Ldkr. Göttingen, Grabhügel FSt. 96 u. 97,
- 7: Jühnde, Grabhügel FSt. 103,
- 8: Jühnde, Grabhügel FSt. 104,
- 9: Rosdorf, Ldkr. Göttingen, neben jung.RKZ-Siedlung,
- 10: Groß Lengden, Ldkr. Göttingen, Hengstberg,
- 11: Pleßforst, Ldkr. Göttingen, Wittenburg,
- 12: Negenborn, Ldkr. Northeim, Burgberg,
- 13: Eldagsen, Region Hannover, Barenburg,
- 14: Dahlenrode, Ldkr. Göttingen, Ecksberg,
- 15: Berlepsch-Ellerode, Werra-Meißner-Kreis, Hübenberg,
- 16: Ulfen, Werra-Meißner-Kreis, Ottilienberg,
- 17: Rotenkirchen, Ldkr. Northeim, Burgplatz Grubenhagen,
- 18: Oldenrode, Ldkr. Northeim, röm.-germ. Schlachtfeld am Harzhorn,
- 19: Deiderode, Ldkr. Göttingen, Rieschenberg,
- 20: Hedemünden Römerlager.

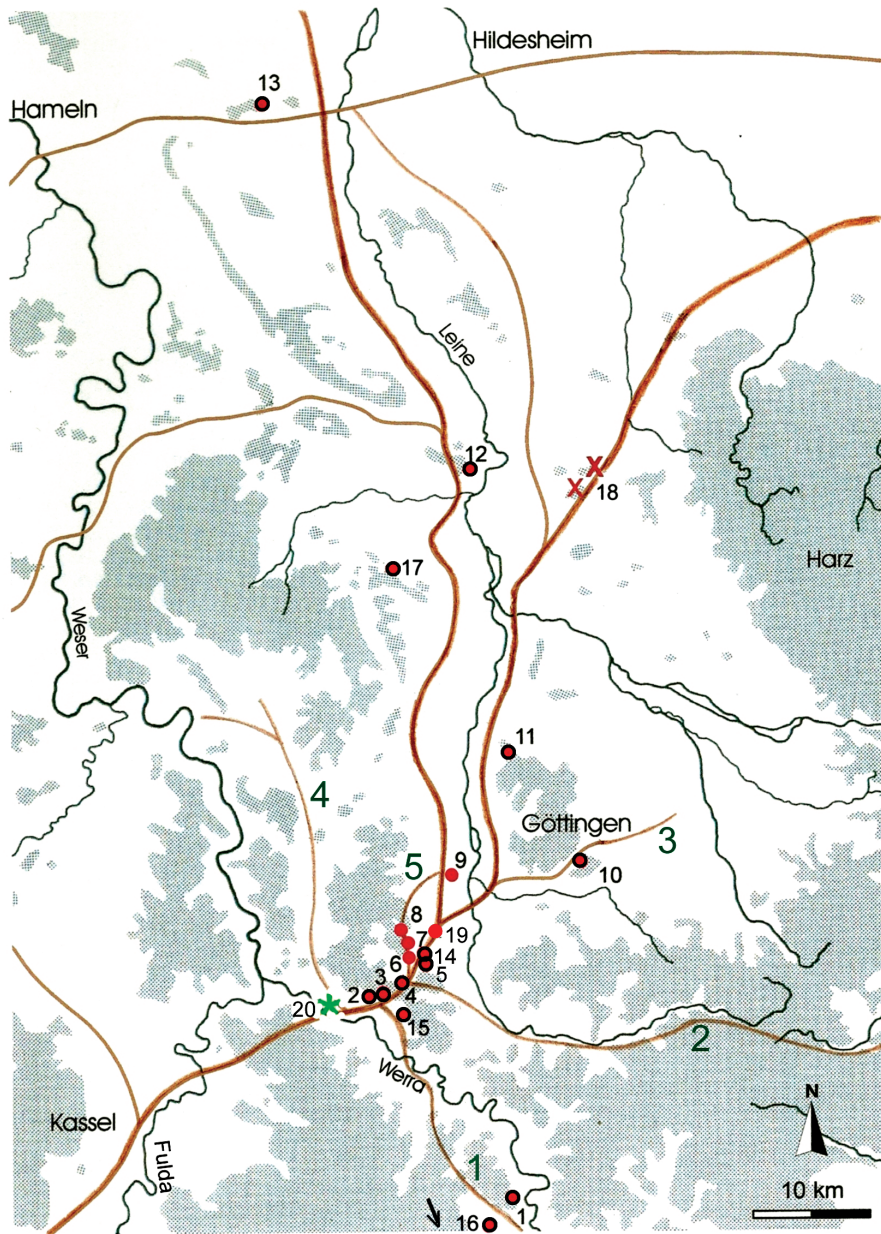


Abb. 23: Südniedersachsen und Nordhessen in der nach-augusteischen RKZ. Mutmaßliche Signalposten (rot in schwarzem Kreis), Schuhnagelfundstellen, z. T. als Wegespuren (rot), rekonstruierter Verlauf des SW-NO-Überlandweges (hellbraun) und anderer überörtlicher Hauptwege. Vgl. Abb. 11.

Matthieu Demierre, Thierry Luginbühl und Murielle Montandon *Militaria* tardo-republicains au Col des Etroits (Jura vaudois, Suisse) – données et essai d’analyse

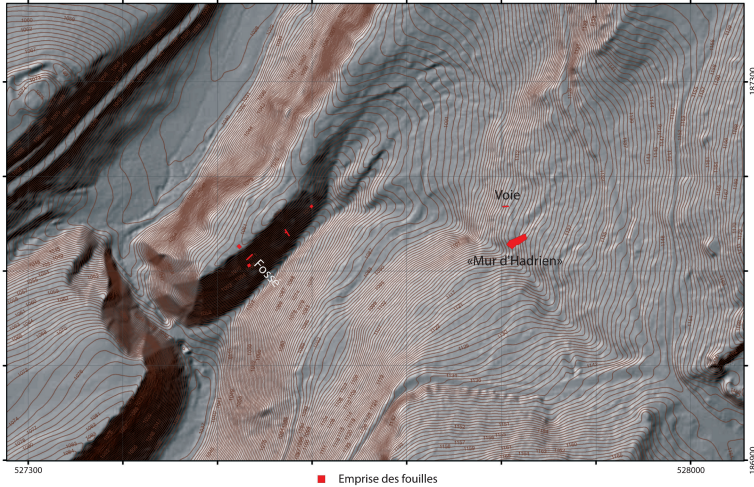


Fig. 1: Topographie générale du Col des Etroits (swisstopo, Section Archéologie cantonale, Etat de Vaud).

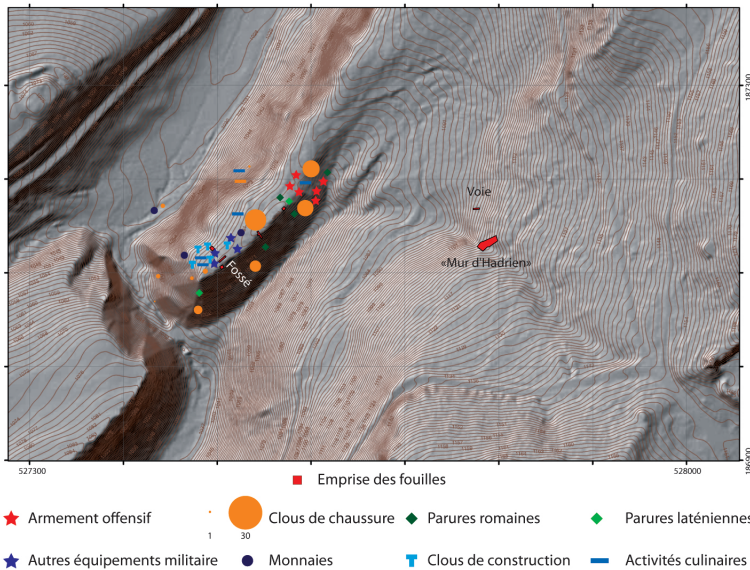


Fig. 7: Carte de répartition du mobilier de prospection (swisstopo, Section Archéologie cantonale, Etat de Vaud, DAO M. Demierre).